

LAMPIRAN

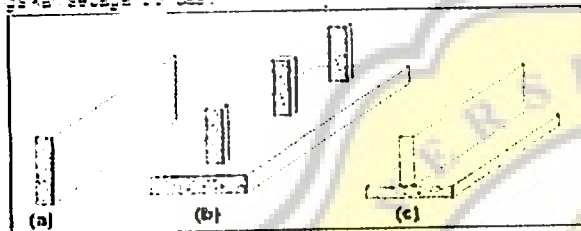


batang, bongkahan batu dan pasir yang dapat diserapkan pada permukaan tanah. Sedangkan batu bongkahan dalam tanah dapat berupa batu yang keras dari batuan kayu, batu atau pasir, pasir berupa batu yang keras dari batuan pasir, batu atau pasir.

Bentuk-bentuk pondasi ditunjukkan pada Gambar 5.14.

5.3.1. Pondasi telapak (Footing Foundation)

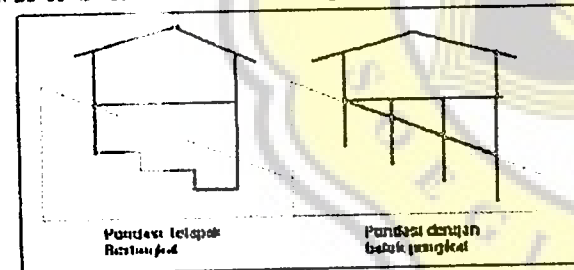
Pondasi telapak yang diterapkan di atas tanah asli relatif keras dan bertahan cukup yang telah diperlakukan dengan tingkat kedalaman tertentu yang disyaratkan. Pondasi dinding dan pondasi telapak ini adalah yang paling banyak digunakan untuk memindahkan beban dinding atau lantai. Berkaitan dengan ketahanan tanah cukup keras, dinding mampu dapat ditularkan secara langsung.



Gambar 5.15: (a) Pondasi dinding, (b) Telapak kolom dan (c) Telapak dinding
Sumber: Atri, 1999

Pondasi telapak dapat berupa batu pasangan batu, batu pasir, batu kali berulang maupun batu beton berulang. Macam-macam pondasi telapak dapat dilihat pada Gambar 5.16.

Untuk menekan ketahanan tanah dan adanya pengaruh kerembingan tanah dan gempa, pondasi ini memerlukan struktur sangkar baik berupa batok sangkar tumbang (grade beam), maupun batok sangkar (tie beam). Ilustrasi bentuk-bentuk pondasi pada tanah miring ditunjukkan pada Gambar 5.16.



Gambar 5.16: Bentuk-bentuk pondasi untuk tanah miring: (a) pondasi telapak bertingkat (stepped footing); dan (b) pondasi dengan batok sangkar (tie beam)
Sumber: Atri, 1999

geser tanah basah (granuler). Tabel 5.9 menunjukkan besaran bendakatan untuk jenis tanah lembut.

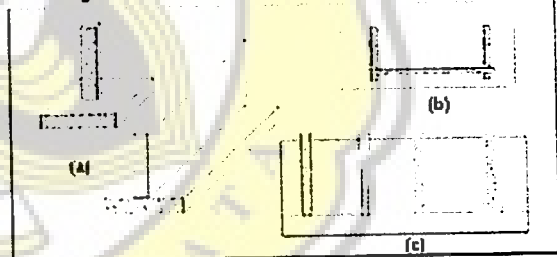
Tabel 5.9. Kekerasan dan Besaran sudut geser dalam dari jenis tanah Lembut
Sumber: Sikkawitayudha, 2003

Batas	Sudut geser	Lembut	Pasir	Pasir	Batang
Jml Pukulan < 4	5° - 10°	11° - 30°	31° - 50°	> 50°	
Sudut Geser (θ)	< 22.5°	22.5° - 25°	25° - 30°	30° - 35°	35° - 45°

Sedang untuk jenis tanah lembut, sudut geser sangat dibenggarahi oleh tekanan batang, tekanan tambahan akibat pengaruh air dan tanah dan kelembaban pembelahan. Jika pembelahan pada tanah oleh suatu struktur dianalogi dengan sesar-sesar besar, besaran bendakatan sudut geser ini untuk tanah lembut dapat diambil dengan rentangan 20° – 30°. Sedangkan jika pembelahan dasar tanah berlangsung lateral, maka besaran sudut geser ini akan sedikit lebih besar, yakni berkisar pada 10° – 20°.

5.3. Pondasi

Terdapat berbagai bentuk dan tipe pondasi yang saat ini diterapkan untuk mendukung bangunan. Batu-batah atau batu yang tanah terhadap air dan pengaruh tanah dimana pondasi tersebut di basang. Secara umum dapat didefinisikan menjadi pondasi dangkal dan pondasi dalam. Walaupun ada teknik-teknik yang dapat meningkatkan kedalaman pondasi, untuk keperluan praktis, pondasi dengan kedalaman < 2,50 meter merupakan pondasi dangkal. Pondasi dapat berbentuk simpatik (footing), pondasi memanjang (skip), pondasi dangkal.



Gambar 5.17: Macam-macam pondasi: (a) pondasi telapak (footing); (b) Pondasi Basement dan (c) berbagai type pondasi tiang
Sumber: Atri, 1999

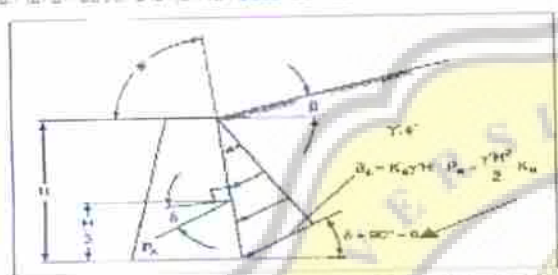
Pondasi dangkal yang saling sedekah adalah pondasi simpatik dan beran basang atau baton. Untuk menahan beban bangunan

dari ketinggian ini terhadap bentuk struktur dinding beratnya. Ilustrasi tekanan lateral pada dinding tanah pada Gambar 5.24.

Untuk ketinggian tanah tidak sebagai dinding penahan tanah. Produk beban ini dengan disebut sebagai geotextile atau geo-synthetic.

5.4.1. Klasifikasi Dinding Penahan

Berdasarkan berikutnya peranannya terhadap tanah, dinding penahan dapat diklasifikasikan ke dalam tiga bentuk, yakni (1) dinding gravity, (2) dinding semi gravity dan (3) dinding non gravity. Dinding gravity merupakan dinding penahan tanah yang mengandalkan berat batu sebagai berat tanah gunanya untuk pasang turun batu atau bongkahan batu (geotekton).



Gambar 5.21: Ilustrasi untuk Perhitungan Tekanan Lateral Tanah
Sumber: Dowd, 1997

Besaran tekanan lateral (statis) dibagaimana diilustrasikan Gambar 5.24 dapat di selesaikan menurut persamaan 5.10.

$$P = \rho g K_0 H^2$$

(5.10)

Dimana:

- P = Besaran gaya alere dalam (Kg/m²) atau Ton/m²
- ρ = Berat alih tanah (kg/m³) atau ton/m³
- H = Ketinggian dinding (m) atau m
- K_0 = Koefisien tekanan tanah statis atau pasif

$$K_0 = \frac{S_y(B-a)}{S_y(B-a) - S_y(a-b)S_y(b) + S_y(b)(S_y(a-b) - 1)}$$

$$K_0 = 1.0$$

Tabel 5.11: Koefisien Tekanan Lateral Aktif Untuk Gambar 5.23
Sumber: Dayard, 1997

A/a	NODAL POINT		CENTRE		CANTILEVER	
	N	D	N	D	N	D
0.0	0.000	0.000	0.000	0.000	0.000	0.000
0.2	0.171	0.171	0.171	0.171	0.171	0.171
0.4	0.342	0.342	0.342	0.342	0.342	0.342
0.6	0.513	0.513	0.513	0.513	0.513	0.513
0.8	0.684	0.684	0.684	0.684	0.684	0.684
1.0	0.855	0.855	0.855	0.855	0.855	0.855
1.2	1.026	1.026	1.026	1.026	1.026	1.026
1.4	1.197	1.197	1.197	1.197	1.197	1.197
1.6	1.368	1.368	1.368	1.368	1.368	1.368
1.8	1.539	1.539	1.539	1.539	1.539	1.539
2.0	1.710	1.710	1.710	1.710	1.710	1.710
2.2	1.881	1.881	1.881	1.881	1.881	1.881
2.4	2.052	2.052	2.052	2.052	2.052	2.052
2.6	2.223	2.223	2.223	2.223	2.223	2.223
2.8	2.394	2.394	2.394	2.394	2.394	2.394
3.0	2.565	2.565	2.565	2.565	2.565	2.565

A/a	NODAL POINT		CENTRE		END	
	N	D	N	D	N	D
0.0	0.000	0.000	0.000	0.000	0.000	0.000
0.2	0.171	0.171	0.171	0.171	0.171	0.171
0.4	0.342	0.342	0.342	0.342	0.342	0.342
0.6	0.513	0.513	0.513	0.513	0.513	0.513
0.8	0.684	0.684	0.684	0.684	0.684	0.684
1.0	0.855	0.855	0.855	0.855	0.855	0.855
1.2	1.026	1.026	1.026	1.026	1.026	1.026
1.4	1.197	1.197	1.197	1.197	1.197	1.197
1.6	1.368	1.368	1.368	1.368	1.368	1.368
1.8	1.539	1.539	1.539	1.539	1.539	1.539
2.0	1.710	1.710	1.710	1.710	1.710	1.710
2.2	1.881	1.881	1.881	1.881	1.881	1.881
2.4	2.052	2.052	2.052	2.052	2.052	2.052
2.6	2.223	2.223	2.223	2.223	2.223	2.223
2.8	2.394	2.394	2.394	2.394	2.394	2.394
3.0	2.565	2.565	2.565	2.565	2.565	2.565

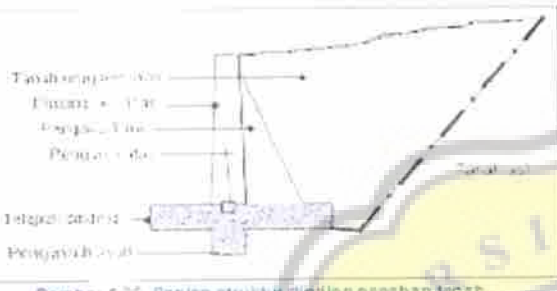
Gambar 5.22: Macam-macam bahan dan bentuk struktur dinding penahan tanah : (a) gravity, (b) cantilever, (c) dinding dengan jangkar
Sumber: Aien, 1999

Dinding semi gravity akan mengandalkan berat sendiri temanfaatkan berat tanah letakan untuk kesabahan struktur. Sedangkan dinding non gravity mengandalkan konstruksi dan kekuatan-paten untuk kesabahan.

5.4.2. Tekanan Lateral Tanah

Untuk dapat memperkirakan dan mengitung kesabahan dinding berat, diperlukan mengitung tekanan lateral aktif (statis). Karena massa tanah berpasir bukan, maka saat menahan tegangan normal (σ_n) baik eksistensya yang ditarik tanah maupun aktivitas tanah kolom tanah di atas kedalaman atau dalam tanah yang stabilisasi akan menyebabkan tekanan lateral yang lemah atau tidak ke arah samping. Tegangan ini yang disebut sebagai tegangan tanah lateral (lateral earth pressure). Tegangan tanah akibat kolom tanah tersebut merupakan besar tegangan efektif (σ'_n) yang setanding dengan σ_n . Pengeluaran tentang tegangan lateral (σ'_n) dipengaruhi oleh berikutnya peranannya.

Tekanan lateral aktif dibedakan menjadi tekanan lateral aktif dan tekanan lateral pasif. Tekanan lateral aktif adalah tekanan lateral yang dimulai tanah secara aktif pada struktur yang kita seranggapakan. Sedangkan tekanan lateral pasif merupakan tekanan yang timbul pada tanah saat menahan oleh struktur yang kita seluruh pada secara lateral. Besarnya tekanan lateral sangat dipengaruhi oleh fisik tanah, sudut geser,



Gambar 5.26. Bagian struktur dinding penahan tanah

Sumber: AASHTO, 1993

5.4.5. Kestabilan terhadap Guling

Untuk penerapan kestabilan terhadap dinding penahan yang menghadapi guling dan dinding yang menghadapi gerak lateral (gravity, semi gravity) dan geser digunakan kriteria zegagaman ditunjukkan Gambar 5.27.



Gambar 5.27. Kestabilan dinding penahan: (a) gravity dan (b) semigravity

Sumber: Orlitzky, 1997

Kestabilan untuk dinding penahan gravity dan semigravity

Letak pusat momen pada daerah teleskop (cas)

$$D = Wd + Pv - PfH \leq (W + Pv)$$

Asumsi: Pd = tekanan tanah pasif jd sebaliknya ditarikkan

Guling pada dinding gravity dan semigravity

Momen bidejasi dalam teleskop

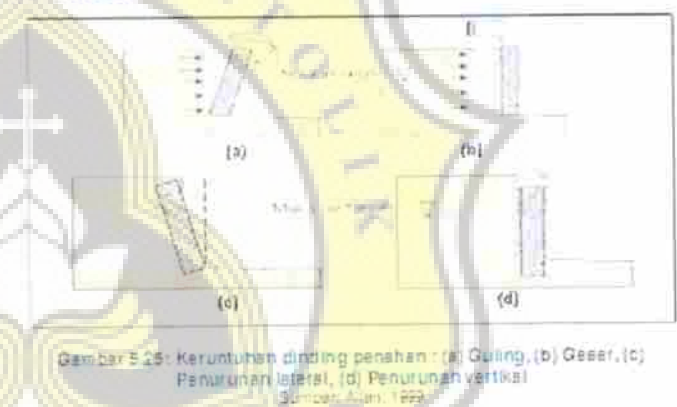
$$Fe = Wa \cdot f_{Rn} \cdot o - Pv \cdot g \cdot 1/3$$

Fe = Faktor kemanan / Factor of Safety

5.4.6. Kestabilan Dinding Penahan Tanah

Besarnya tekanan lateral ini menjadi salah satu faktor utama yang dapat ditafsir untuk berpengaruh terhadap kestabilan dinding penahan tanah. Tekanan lateral tersebut dapat menyebabkan dinding penahan tergulung (overturning) atau bergeser (sliding). Selain besarnya tekanan lateral, kestabilan dinding penahan juga dipengaruhi oleh bentuk struktur dan faktor pelaksanaan konstruksi. Berikutnya berada tanah letusan di sekitar dinding penahan merupakan penyebab keruntuhan undemining. Ilustrasi kestabilan yang baru diperbaiki untuk dinding penahan ditunjukkan pada Gambar 5.28.

Gambar 5.28



Gambar 5.28: Keruntuhan dinding penahan: (a) Guling, (b) Geser, (c) Penurunan lateral, (d) Penurunan vertikal

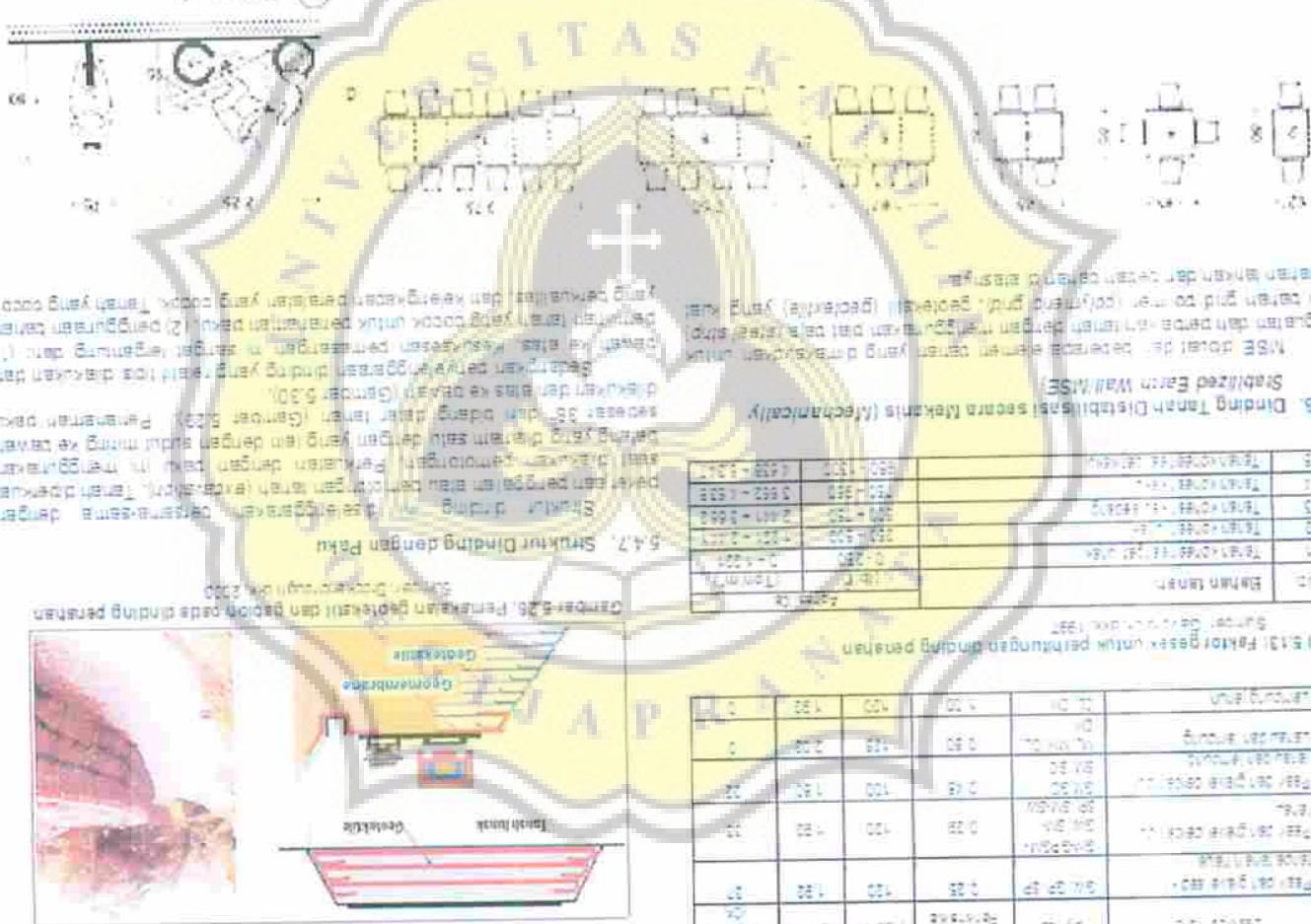
Sumber: AASHTO, 1993

5.4.7. Kestabilan Geser Dinding Penahan

Untuk memperbaiki keruntuhan yang cukup melawan geseran horizontal dasar dinding penahan harus ditemui \geq kedalaman minimum 3 ft (1 m) di bawah titik tanah. Untuk dinding permanen, kekuatan tersebut harus stabil tanpa adanya struktur penahan posisi di bagian kaki dinding.

Jika sistem kekuatan dasar tidak mencukupi, dapat disempitkan dengan geser di bawah lembah pondasi atau tang dapang untuk menahan geseran. Selain perbaikan kekuatan tersebut, harus dicermati bangunan adanya kemungkinan catucah akibat aliran malah pengaruh hujan. Beberapa ulama dan struktur dinding permanen terhadap geser dapat ditunjukkan pada gambar 5.29.

(2) Mandibula



Kremingier dient als Knochenmodell für die Praxis. Der Knochen wird mit einem Klammergelenk zwischen den Zähnen gehalten und kann so leicht abgedreht werden. Die Kremigier ist aus einer dünnen Platte aus Metall, die auf der einen Seite eine Reihe von Löchern aufweist, die mit Klebeband abgedeckt sind. Diese Löcher sind so angeordnet, dass sie die Zähne des Patienten umschließen. Die Kremigier ist leicht zu reinigen und kann einfach wieder benutzt werden.

Abbildung 2: Kremigier für die Praxis (A) und Kremigier (B) (Bild: Dr. med. dent. Michael Schmid)



Abbildung 3: Maxilla (A) und Kremigier (B) (Bild: Dr. med. dent. Michael Schmid)

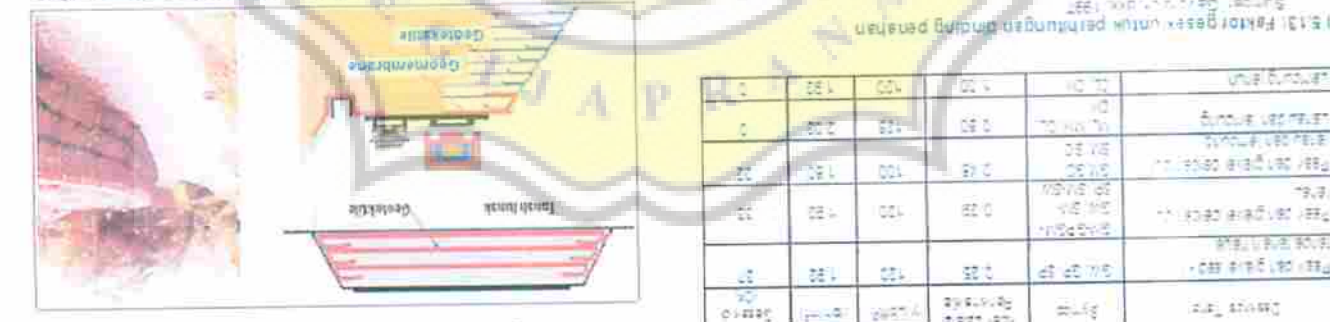


Abbildung 4: Kremigier für die Praxis (A) und Kremigier (B) (Bild: Dr. med. dent. Michael Schmid)

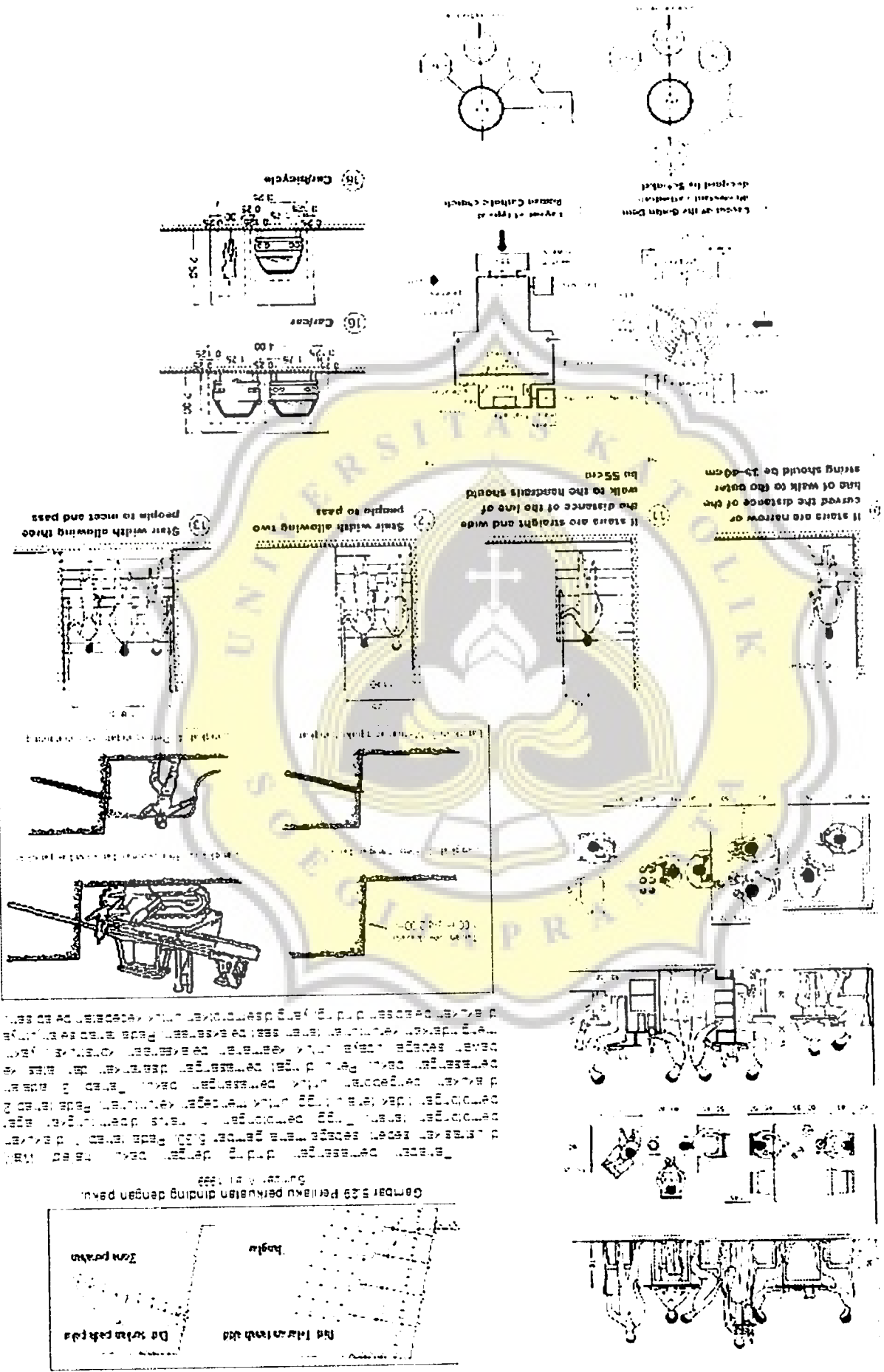


Figure 10-12. Liquid handling system for the Bio-Analyzer.